

بررسی اضافه ولتاژهای ناشی از برخورد صاعقه به خط انتقال و نفوذ

آن به سیم پیچ مبدل به کمک شبیه‌سازی مونت کارلو

دکتر حسین محسنی - دکتر کارولوکس

اعضاء هیئت علمی گروه مهندسی برق و کامپیوتر - دانشکده فنی - دانشگاه تهران

مهندس گیورک قره‌پتیان

دانشجوی دکترای گروه مهندسی برق و کامپیوتر - دانشکده فنی - دانشگاه تهران

چکیده

در این مقاله شکل موج صاعقه‌ای که به خط انتقال برخورد می‌کند و در آن منتشر می‌شود، با توجه به تابع توزیع پارامترهای این شکل موج، مدل شده است. سپس بر مبنای روش شبیه‌سازی مونت کارلو، برخورد صاعقه به خط، انتشار، و سپس نفوذ آن به سیم پیچ مبدل (ترانسفورماتور)، شبیه‌سازی شده است. با توجه به نتایج شبیه‌سازی، اضافه ولتاژهای ایجاد شده در مبدل مورد بررسی قرار گرفته است و مشخص شده است که در لحظات اولیه برخورد موج به مبدل، اضافه ولتاژهایی در ورودی آن به وجود می‌آید که مقدار آن اگر به روش قطعی مشخص گردد، نتیجه بسیار بدینانه است. ولی به کمک شبیه‌سازی مونت کارلو می‌توان به نتایج واقع بینانه‌تری رسید.

در این مقاله مشخص شده است که میانگین حداکثر اضافه ولتاژی که در هر گره به دست می‌آید کمتر از مقداری است که به روش قطعی (با شکل موج استانداره صاعقه) مشخص می‌شود و نو درصد اضافه ولتاژهای به وجود آمده در فاصله $\mu + 2\sigma$ تا $\mu - 2\sigma$ قرار می‌گیرند. همچنین مشخص شده است که با افزایش ظرفیت‌های خازنی مبدل، دامنه اضافه ولتاژهای به وجود آمده کاهش می‌یابند. ولی در عوض نوسانات ولتاژ در مبدل دیرتر میرا می‌شوند.

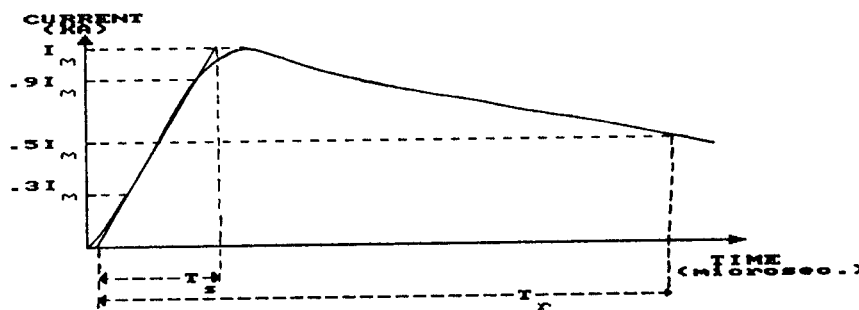
مقدمه

شود، نتیجه بدون تغییر خواهد ماند. در این روش در صورتی که ورودی به مبدل، جریان صاعقه باشد، باید از شکل موج $1,2/50$ با دامنه 31 کیلوآمپر استفاده نمود. (یعنی موجی با زمان پیشانی $1,2$ میکروثانیه و نیم زمان پشت 50 میکروثانیه) ولی با توجه به رفتار تصادفی صاعقه، پاسخ به دست آمده از

جهت بررسی رفتار سیم پیچ مبدل به ازای ورودیهای گوناگون به دوروش می‌توان عمل نمود. در روش اول شکل موج ورودی کاملاً معلوم فرض می‌شود و با حل معادله دیفرانسیل با مشتقهای جزئی (PDE) مبدل به یک جواب قطعی و مشخص می‌رسیم [۱]. هر چند بار هم که برنامه اجرا

ولی اکثراً قطبیت آن منفی است. طول زمان دوام صاعقه از چند میکروثانیه تا چند صد میکروثانیه است. یک صاعقه معمولاً شامل چند برخورد است که دامنه جریان برخورد اول از همه بیشتر است. لذا جهت بررسی اضافه ولتاژها فقط مدلسازی برخورد اول کافی است.

هر صاعقه دارای سه پارامتر مهم است که در شکل (۱) این پارامترها مشخص شده‌اند. مهمترین آنها I_m حداکثر دامنه جریان صاعقه است و دیگر پارامترها عبارتند از T_s زمان



شکل (۱): شکل موج جریان صاعقه

$$T_2 = \frac{T_s}{2.282835} \quad (3)$$

می‌توان به رابطه زیر رسید:

از طرفی با توجه به اینکه جمله دوم رابطه (۱) بسیار سریع

به سمت صفر میل می‌کند، بنابراین برای محاسبه T_1 می‌توان نوشت:

$$i(t) \simeq \alpha I_m (e^{-t/T_1} - 0) \quad (4)$$

و از آنجا خواهیم داشت:

$$T_1 = 1.365434 * T_s \quad (5)$$

از آنجائی که T_R و T_s بر اساس اندازه گیریهای انجام شده [۳]، دارای توزیعهای مشخصی هستند، بنابراین می‌توان به روش مونت کارلو بر اساس این توزیعها T_R و T_s و با توجه به روابط (۳) و (۵)، T_1 و T_2 را مشخص نمود.

در رابطه با دامنه جریان صاعقه، توزیع لوگ-نرمال [۴] و

همچنین ماکسول [۵] پیشنهاد شده است. IEEE با جمع‌بندی

این روش بیانگر رفتار واقعی مدل نخواهد بود. در روش دوم که مورد نظر این مقاله است، به کمک شبیه‌سازی مونت کارلو [۵] شکل موج صاعقه به صورت تصادفی مدل می‌شود و بر این اساس می‌توان به نتایج واقع‌بینانه‌تری دست یافت.

۱- مدلسازی

۱-۱ مدلسازی صاعقه

صاعقه بادو قطبیت مثبت و منفی در طبیعت دیده می‌شود

پیش موج (زمان پیشانی) و T_R نیم زمان پشت موج. برای بررسیهای قطعی، پارامترهای صاعقه را $I_m = 31 \text{ kA}$ ،

$T_s = 1/2 \mu\text{s}$ و $T_R = 50 \mu\text{s}$ در نظر می‌گیرند. با توجه به اینکه رفتار صاعقه در محدوده گسترده‌ای از مقادیر I_m ، T_s و T_R تصادفی است، لذا شبیه‌سازی مونت کارلو نتایج واقعیتری را نسبت به انجام بررسی با یک I_m ، T_s و T_R مشخص به بار خواهد آورد. جریان صاعقه را می‌توان به صورت رابطه زیر نوشت.

$$i(t) = \alpha I_m (e^{-t/T_1} - e^{-t/T_2}) \quad (1)$$

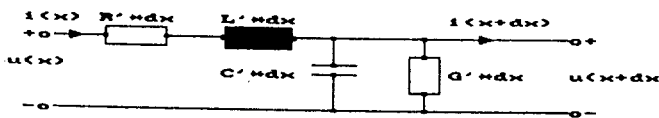
جهت مشخص‌سازی ارتباط بین پارامترها می‌توان فرض کرد که با توجه به کوچک بودن T_2 نسبت به T_1 در لحظات اولیه داریم:

$$i(t) \simeq \alpha I_m (1 - e^{-t/T_2}) \quad (2)$$

با توجه به تعریف T_s (خط واصل از $\frac{1}{3}I_m$ به $0/9I_m$)

$$\frac{\partial^2 u}{\partial x^2} = R'G'u + (R'C' + L'G') \frac{\partial u}{\partial t} + L'C' \frac{\partial^2 u}{\partial t^2} \quad (8)$$

$$\frac{\partial^2 i}{\partial x^2} = R'G'i + (R'C' + L'G') \frac{\partial i}{\partial t} + L'C' \frac{\partial^2 i}{\partial t^2} \quad (9)$$



شکل (۲): جزء دیفرانسیل خط انتقال

در صورت صرفنظر کردن از G' و R' و با فرض اینکه $t = 0$ در لحظه ۰ برابر صفر و $U(x,t) = 0$ در لحظه ۰ برابر (x,t) باشد، خواهیم داشت:

$$u(x,t) = \frac{1}{2} (f(x+vt) + f(x-vt)) \quad (10)$$

$$i(x,t) = \frac{1}{2} (h(x+vt) - h(x-vt)) \quad (11)$$

یعنی می‌توان گفت در صورت برقراری شروط فوق بعد از برخورد صاعقه به خط، صاعقه به دو قسمت مساوی تقسیم می‌شود. یکی با سرعت $+v$ به سمت x های مثبت و دیگری با سرعت $-v$ به سمت x های منفی می‌رود. ثابت می‌شود که در صورت تغییر محیط انتشار (که خطی است با امپدانس مشخصه Z_o) مسئله انعکاس و شکست پیش می‌آید [۷] و برای هر لحظه می‌توان نوشت:

$$u = u_v + u_r \quad (12)$$

$$i = i_v + i_r \quad (13)$$

$$u_v = Z_o i_v \quad (14)$$

$$u_r = -Z_o i_r \quad (15)$$

در این مقاله فرض می‌کنیم که طول خط انتقال طولانی است و مطابق شکل (۳) آن قسمتی از موج که به سمت منع

نتایج کار دیگران، توزیع زیر را برای دامنه جریان صاعقه پیشنهاد کرده است [۶].

$$P(i > I) = \frac{1}{1 + \frac{I^{2.6}}{31}} \quad (6)$$

که در این رابطه واحد جریان کیلوآمپر می‌باشد. به کمک این رابطه بر اساس "روش معکوس‌سازی" [۲] متغیر تصادفی I تولید می‌شود.

طبیعی است که در اولین گام برای تولید T_s ، I_m و T_R از سه مولد با سه "بذر" مجزا استفاده شود [۲]. ولی عملاً این سه پارامتر مستقل از یکدیگر نیستند چون جهت تغییرات آنها مشابه است. برای مثال حالته را در نظر بگیرید که در ابر بار زیادی جمع شده باشد، بنابراین مشخص است که نسبت به یک حالت کم‌بار، I_m بیشتر خواهد بود. از طرفی افزایش بار به معنی بالا بودن پتانسیل است. بنابراین نرخ تغییرات جریان نیز، بیشتر خواهد بود. با توجه به شکل (۱) می‌توان نوشت:

$$\frac{di}{dt} = \frac{I}{T_s} \quad (7)$$

از آنجائی که میزان افزایش I_m بیشتر از di/dt است، بنابراین می‌توان نتیجه گرفت که T_s برای یک I_m بزرگتر، بیشتر است. همچنین برای T_R می‌توان گفت، زمانی که بار ابر زیادتر باشد، مدت زمان تخلیه بارها نیز افزایش می‌یابد. به عبارت دیگر T_R نیز افزایش خواهد یافت. بنابراین با توجه به تغییرات همنوای این سه پارامتر بهتر است که از یک مولد برای تولید آنها سود جست.

۲-۱- مدلسازی انتشار صاعقه در خط

جزء دیفرانسیلی خط انتقال را می‌توان مطابق شکل (۲) در نظر گرفت. برای این چنین خط انتقالی می‌توان به PDE زیر رسید [۶].

ظرفیت این دسته حلقه نسبت به بدن و M مشخص کننده القای متقابل بین هر دو دسته حلقه است. همانگونه که دیده می شود در هر گره این مدل، یک جریان سلفی I_L ، یک جریان خازنی I_G و یک جریان اهمی I_C وجود دارد. جریان تزریقی به هر گره برابر مجموع این جریانهاست، یعنی:

$$I = I_C + I_L + I_G \quad (16)$$

با تعریف M به عنوان ماتریس القاگری شبکه و C به عنوان ماتریس ظرفیت شبکه و G به عنوان ماتریس هدایت الکتریکی، می توان به روابط زیر رسید [۸]:

$$I_C = C \cdot U' \quad (17)$$

$$I_L = A \cdot M^{-1} \cdot A^T \cdot U \quad (18)$$

$$I_G = G \cdot U \quad (19)$$

در این روابط، U بردار ولتاژ گره ها و A ماتریس تلاقي شبکه را مشخص می کند. با استفاده از این سه رابطه و مشتق رابطه (۱۶) می توان به رابطه زیر رسید.

$$I' = C \cdot U'' + G \cdot U' + H \cdot U \quad (20)$$

که در اینجا داریم:

$$H = A \cdot M^{-1} \cdot A^T \quad (21)$$

با استفاده از روابط زیر:

$$U(t+\Delta t) = 2U(t) - U(t-\Delta t) + \Delta t^2 \cdot U''(t) \quad (22)$$

$$I'(t) = \frac{1}{\Delta t} (I(t) - I(t-\Delta t)) \quad (23)$$

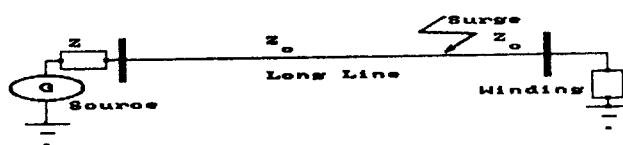
و با صرفنظر کردن از مقاومتها ($G = 0$) خواهیم داشت:

$$U(t+\Delta t) = (2\pi - \Delta t^2 C^{-1} H) U(t) + \Delta t C^{-1} I(t) + HIST(t) \quad (24)$$

$$HIST(t) = -U(t-\Delta t) - \Delta t \cdot C^{-1} I(t-\Delta t) \quad (25)$$

در رابطه (۲۴)، H مشخص کننده ماتریس واحد است. با توجه به اینکه فقط به گره n -ام جریان اعمال می شود، خواهیم

منتشر می شود، در طول زمان بررسی به منبع نمی رسد و در

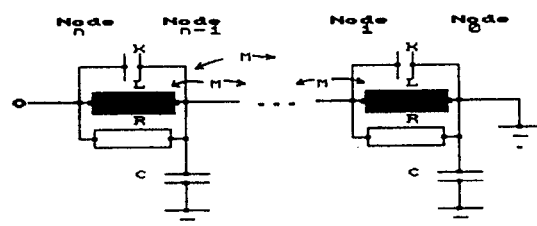


شکل (۳): سیستم مورد مطالعه

نتیجه به صورت منعکس شده به مبدل نیز نخواهد رسید، بنابراین در بررسی های انجام شده بی تأثیر است. از طرفی باید به این نکته توجه داشت که G' و R' باعث تغییر شکل موج و تضعیف دامنه جریان می گردند. ولی میزان تضعیف و تغییر شکل، تابعی از محل برخورد صاعقه به خط انتقال است. هر چه محل برخورد صاعقه به مبدل نزدیکتر باشد میزان تغییرات به صفر نزدیکتر است. در این مقاله فقط مسئله تضعیف در نظر گرفته شده است و مقدار تضعیف نیز، به صورت تصادفی بین صفر تا حداقل مقدار تضعیف، محدود شده است. بدین ترتیب توانسته ایم محل برخورد صاعقه به خط را مدل کنیم.

۱-۳- مدلسازی سیم پیچ مبدل

شکل (۴) نشاندهنده مدل انتخابی جهت بررسی حالات گذراي مبدل است [۸]. در این مدل طول مبدل به n گره تقسیم شده است.



شکل (۴): مدل مبدل

بین دو گره مبدل، یک K و یک L و یک R که به ترتیب مشخص کننده ظرفیت، القاگری و مقاومت یک دسته از سیم پیچهای مبدل است، قرار دارد. C مشخص کننده

$$U(\Delta t) = \Delta t C^{-1} I(0) \quad (28)$$

آخرین جزء بردار U ، ولتاژ گره n -ام است که برابر است با:

$$u_n(\Delta t) = u_{vn}(\Delta t) + u_m(\Delta t) \quad (29)$$

در این رابطه $(\Delta t)_{vn}$ از رابطه زیر مشخص می‌شود.
(توجه شود که $(\Delta t)_{vn}$ برابر نصف شکل موج صاعقه در همین لحظه است).

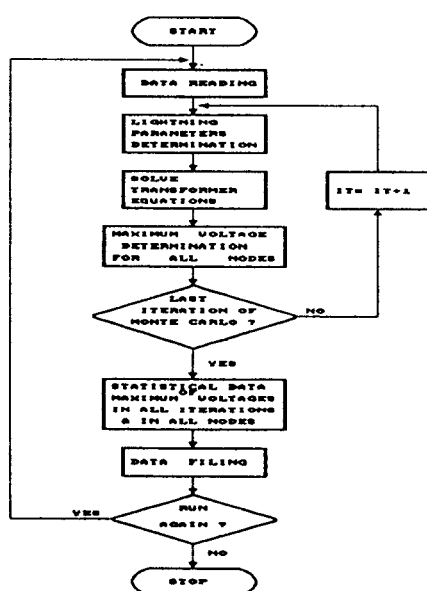
$$u_{vn}(\Delta t) = Z_o i_{vn}(\Delta t) \quad (30)$$

بنابراین می‌توان از رابطه (29) مقدار $(\Delta t)_m$ و از رابطه زیر مقدار $(\Delta t)_n$ را مشخص نمود.

$$i_m(\Delta t) = -\frac{1}{Z_0} u_m(\Delta t) \quad (31)$$

حال می‌توان به کمک رابطه زیر $(\Delta t)_n$ را مشخص نمود.

$$i_n(\Delta t) = i_{vn}(\Delta t) + i_m(\Delta t) \quad (32)$$



شکل (5): فلوچارت برنامه

بنابراین برای $j=1, \dots, kT$
 $HIST(\Delta t), I(\Delta t), U(\Delta t)$ مشخص است و می‌توان $(2 \times \Delta t) \times U$ را به کمک روابط (24) و (25) مشخص نمود. به همین روال تا kT = زولتاژ تمام

$$I(t) = [0 \ 0 \ 0 \ \dots \ 0 \ i(t)]^T \quad (26)$$

که $i(t)$ همان جریان صاعقه است، که بعد از طی طول خط به گره n -ام مبدل رسیده است و با توجه به رابطه (13) داریم:

$$i(t) = i_v(t) + i_r(t) \quad (27)$$

قابل ذکر است که، از دو فرض در به دست آوردن این مدل استفاده شده است، یکی بی‌باری مبدل و دیگری وجود "حافظه" زمین شده بین اولیه و ثانویه.

۲- الگوریتم حل و برنامه کامپیوتری

در این قسمت نحوه ترکیب مدل‌های فوق، جهت بررسی مسئله اضافه ولتاژها، ارائه می‌شود. شکل (5) فلوچارت برنامه‌ی رانشان می‌دهد که نیاز فوق را برآورده می‌سازد. این برنامه حدود ۱۴۰۰ خط است و به زبان فرترن نوشته شده و کاملاً اینتراتکتیو است. روند برنامه به شرح زیر است. بعد از مرحله، داده‌ها به برنامه، مولد اعداد تصادفی عددی را تولید می‌کند که براساس T_R , T_m در نتیجه $i(t)$ مشخص می‌شود. عدد تصادفی دومی جهت مشخص‌سازی میزان میراثی تولید می‌گردد. بعد از اتمام این مرحله، $(\Delta t)_{j}$ اجریان ورودی مبدل برای $O, \dots, kT = j$ مشخص می‌شود.

نموزمانی محاسبات و kT تعداد کل نموهای است که با توجه به طول زمان شبیه‌سازی مشخص می‌گردد. این مقادیر در مرحله اخذ داده‌ها توسط کاربر مشخص می‌شوند.

به ازای $0 =$ زیرا ایط اولیه زیر برقرار است [7].

$$I(0) = [0 \ 0 \ 0 \ \dots \ 0 \ 2i_v(0)]^T$$

$$U(0) = 0 \quad HIST(0) = 0$$

با توجه به روابط فوق، از رابطه (24) به رابطه زیر می‌رسیم که ولتاژ تمام گره‌ها را در لحظه Δt مشخص می‌سازد.

از حدود ۵ کیلوآمپر شروع و فقط در یک درصد موارد بیشتر از ۱۱۱ کیلوآمپر می‌گردد [۱]. با انجام یک سری محاسبات ساده بر رویتابع توزیع پیشنهاد شده توسط IEEE مشخص می‌شود که حدود پنج درصد موارد دامنه جریان از ۱۱۰ کیلو آمپر بیشتر است. بنابراین در استفاده از این تابع توزیع جهت کاهش واریانس باید مولد اعداد تصادفی را تصحیح نمود. با توجه به آزمونهای انجام شده که چند نمونه آن در جدول (۱) داده شده است، مشخص می‌گردد که به جای تولید اعداد تصادفی بین صفر و یک بهتر است اعداد مذکور را در فاصله ۰/۹۷ تا ۰/۰ تولید نمود. مولد اعداد تصادفی به کمک روابط زیر که به روش معکوس‌سازی به دست آمده‌اند [۵] مقدار RAND دامنه جریان را مشخص می‌سازند. در این روابط تابعی است که اعداد تصادفی با توزیع یکنواخت را به وجود می‌آورد.

$$u = 0.01 + 0.96 \cdot RAND(0) \quad (۳۳)$$

$$I_m = \exp\left(3.434 - \frac{1}{2.6} \cdot \ln\left(\frac{1-u}{u}\right)\right) \quad (۳۴)$$

با توجه به رابطه (۳۳) به کمک محدودیت فوق دامنه جریان بین ۵ تا ۱۲۰ کیلوآمپر محدود می‌گردد، که این مقادیر به نتایج اندازه گیری شده [۱] نزدیکترند.

جدول (۱): چند نمونه از نتایج محدودسازی تابع توزیع

Maximum Voltage Statistical Data at Each Node					Maximum Voltage Statistical Data at Each Node				
UI= .01+ .94*Rand 3(0)					UI= .01+ .97* Rand 3(0)				
Node No.	Umax	Uav	Var(u)	σ	Umax	Uav	Var(u)	σ	
1	2.99271	2.17633	.01810	.13454	2.99271	2.25928	.01723	.13125	
2	6.73361	4.89674	.09146	.30272	6.73361	5.08338	.08723	.29534	
3	12.15790	8.84134	.29876	.54659	12.15790	9.17832	.28439	.53328	
4	20.62167	14.99627	.85942	.92705	20.62167	15.56784	.81801	.90444	
5	34.24086	24.90027	2.36977	1.53941	34.24086	25.84931	2.25605	1.50201	

گره‌ها محاسبه می‌شوند. مطابق با شکل (۵)، بعد از پایان مرحله حل معادلات مبدل، حداکثر ولتاژ به وجود آمده در هر گره مشخص می‌گردد. سپس مجددأ به اول برنامه بر می‌گردیم و دوباره مراحل فوق را برای یک شکل موج صاعقه دیگر که به صورت تصادفی تولید شده است تکرار می‌کنیم و حداکثر ولتاژ به وجود آمده در هر گره را برای این شکل موج نیز ذخیره می‌کنیم. در انتها بعد از پایان تکرارهای مونت کارلو برای اضافه ولتاژهای بوجود آمده در هر گره محاسبات آماری انجام می‌دهیم. یعنی مشخص می‌کنیم که در هر گره میانگین حداکثرهای ولتاژ، واریانس آنها و همچنین بیشترین حداکثر ولتاژی که در هر گره پیش آمده است چقدر است. نتایج و داده‌ها در آخرین مرحله بعد از نمایش بر روی صفحه تصویری، در فایلهای خاصی جهت چاپ ذخیره می‌گردد. حال در صورت درخواست کاربر می‌توان به ابتدای برنامه آمده و بعضی از داده‌ها را به صورت ایستراکتیو تغییر داد و سپس مجددأ برنامه را اجرا نمود.

۳- عوامل مؤثر بر واریانس

۳-۱- تأثیر محدودسازی تابع توزیع

با توجه به اندازه گیریهای انجام شده، دامنه جریان صاعقه

جدول (۱): چند نمونه از نتایج محدودسازی تابع توزیع

Maximum Voltage: Statistical Data at Each Node				
$Ui = .01 + .96 * \text{Rand}(0)$				
Node No.	Umax	Uav	Var(u)	σ
1	2.99271	2.23068	.01541	.12414
2	6.73361	5.01903	.07801	.27931
3	12.15790	9.06214	.25432	.504301
4	20.62167	15.37080	.73167	.85538
5	34.24086	25.52214	2.01761	1.42043
N0. of Iterations = 100		Surge Impedance = 300.0		
Inductance (mH) = 1.0000		Mutual Inductance (mH) = .1000		
Series Capaci. (μF) .1000		Parallel Capaci. (μF) = .0250		

۲-۳- تأثیر استفاده از چند مولد

از یک مولد و برای تولید I_1 از مولد دیگری استفاده کنیم به نتایج درج شده در قسمت پائین همین جدول می‌رسیم. همانطور که دیده می‌شود واریانس در این حالت حتی به یک عدد چهار رقمی نیز رسیده است. در حالیکه میانگین فقط حداقل تا ۱۰ کیلو ولت افزایش یافته است. آزمونهای دیگری نیز انجام شده که همگی تأییدکننده این نکته است که هر گونه تغییر در همنوایی تغییرات پارامترهای شکل موج صاعقه باعث افزایش واریانس می‌شود.

همان گونه که در رابطه با مدلسازی شکل موج صاعقه گفته شد، پارامترهای صاعقه دارای تغییراتی همنوا هستند و به همین دلیل برای تولید آنها از یک مولد اعداد تصادفی استفاده نموده‌ایم. برای اثبات عملی صحت این روش آزمونهای زیر انجام شده است. ابتدا در یک سیستم مشخص برای تولید T_R از یک مولد استفاده می‌کنیم (جدول ۲). همانطور که دیده می‌شود واریانس در تمام گره‌ها دارای مقادیر کوچکی است. اگر در همین سیستم برای تولید این دو

جدول (۲): اثر همنزایی تغییرات پارامترهای شکل موج صاعقه

Maximum Voltage: Statistical Data at Each Node

Node No.	Umax	Uav	Var(u)	σ	
1	2.99271	2.21736	.01552	.12460	
2	6.73361	4.98906	.07860	.28035	
3	12.15790	9.00802	.25622	.50618	No.of Iterations = 100
4	20.62167	15.27899	.73715	.85857	Inductance (mH) = 1.0000
5	34.24086	25.36970	2.03263	1.42570	Series capaci. (μF) = .1000
Node No.	Umax	Uav	Var(u)	σ	Surge Impedance = 300.00
1	42.49103	3.07808	21.34264	4.61981	Mutual Inductance (mH) = .10
2	95.60480	6.92568	108.04710	10.39457	Parallel capaci. (mF) = .025
3	172.61980	12.50470	352.23680	18.76797	
4	292.78970	21.20990	1013.36400	31.83338	
5	486.15720	35.21756	2793.86800	52.85715	

۱-۴ مقایسه‌ای بین نتایج بررسیهای قطعی و تصادفی

یک مبدل (ترانسفورماتور) پنج گره‌ای با مشخصات یک مبدل (ترانسفورماتور) پنج گره‌ای با مشخصات هفت نقطه‌ای استفاده کردہ‌ایم. این انتخاب با توجه به نظر می‌گیریم. جدول (۳) حداکثر ولتاژ بوجود آمده در هر گره این مبدل را مشخص می‌کند. همانطور که دیده می‌شود برای صد تکرار مونت کارلو در گره ۵ بطور متوسط حداکثر ولتاژ ۱۳۰/۴ کیلو ولت و بیشترین اضافه ولتاژ ۱۵۲/۱۵ کیلو ولت بوده است. نتایج سمت راست همین جدول مشخص کننده اضافه ولتاژهای به وجود آمده در تمامی گره‌های همین مبدل است. ولی در اینجا جریان صاعقه با پارامترهای استاندارde و

۲-۳ تأثیر تعداد نقاط تابع توزیع تجربی

برای تولید T_R از یک تابع توزیع تجربی هفت نقطه‌ای استفاده کردہ‌ایم. این انتخاب با توجه به توصیه‌های انجام شده صورت گرفته است [۹]. با انجام آزمونهای گوناگونی مشخص شده است که تغییر تعداد نقاط توزیع بین ۵ تا ۸ نقطه تأثیر چندانی بر واریانس ندارد.

۴- تحلیل خروجی

در این بخش به تحلیل رفتار مبدل می‌پردازیم. هدف اصلی بررسی اضافه ولتاژهای به وجود آمده است.

تکرارهای مونت کارلو است. مثلاً برای سیستمی که مشخصات آن در جدول (۳) درج شده است. اگر تعداد تکرارهای را به ۲۰۰ و سپس به ۱۰۰۰ تکرار افزایش دهیم مطابق با جدول (۶) دیده می‌شود که میانگین حداکثر ولتاژ در هر گره تقریباً ثابت می‌ماند. ولی واریانسها افزایش می‌یابند. چون دامنه جریان صاعقه دارای پراکندگی زیادی است و با افزایش تعداد تکرارها این پراکندگی فرصت پیدا می‌کند تا خود را نشان دهند. ولی به هر حال مشخص می‌شود که برای تعیین میانگین حداکثر ولتاژ، تعداد ۱۰۰ تکرار کافی است.

قطعی بر مبدل اعمال شده است. در این حالت برای گره ۵ حداکثر ولتاژ به وجود آمده ۲۴۲، ۲۲ کیلو ولت می‌باشد. بنابراین در صورت انتخاب نتایج آزمون قطعی به عنوان معیار، انتخاب ما بسیار دست بالا بوده است. با توجه به میانگین و واریانس حداکثرهای ولتاژ، مشخص است که چنین انتخابی اقتصادی نیست. قابل ذکر است که آزمونهای گوناگون مشخص ساخته‌اند که مقادیر عددی پارامترهای مبدل، بر این نتیجه گیری بی‌تأثیراند. برای مثال برای مبدل‌های دیگر نیز همین مقایسه در جداول (۴) و (۵) انجام شده است. نکته جالبی که باید به آن اشاره نمود مسئله تعداد

جدول (۳): مقایسه نتایج برای $K = 0,01$

Maximum Voltage: Statistical Data at Each Node						Maximum Voltage	
Node No.	Umax	Uav	Var(U)	σ	Node No.	Umax	System Data
1	.12796	.10967	.00004	.00621	1	.20372	Surge Impedance (Ω) = 300
2	.76777	.65803	.00139	.03728	2	1.22231	Mutual Inductance (mH) = .10
3	4.47866	3.83852	.04730	.21749	3	7.13017	Parallel Capaci. (μF) = .04
4	26.10418	22.37308	1.60675	1.26758	4	41.55870	Inductance (mH) = 1.00
5	152.14640	130.40000	54.57705	7.38763	5	242.22200	Series Capaci. (μF) = .01

جدول (۴): مقایسه نتایج برای $K = 0,04$

Maximum Voltage: Statistical Data at Each Node						Maximum Voltage	
Node No.	Umax	Uav	Var(U)	σ	Node No.	Umax	System Data
1	.92678	.79481	.00207	.04546	1	1.47547	Surge Impedance (Ω) = 300.
2	2078034	2.38442	.01860	.13638	2	4.42640	Mutual Inductance (mH) = .1000
3	7.41425	6.35844	.13229	.36371	3	11.80373	Parallel Capaci. (μF) = .04
4	19.46241	16.69091	.91165	.95480	4	30.98478	Inductance (mH) = 1.00
5	50.97296	43.71428	6.25303	2.50060	5	81.15062	Series Capaci. (μF) = .01

جدول (۵): مقایسه نتایج برای $K = 0, 16$

Maximum Voltage: Statistical Data at Each Node						Maximum Voltage			
Node No.	Umax	Uav	Var(U)	σ	Node No.	Umax	System Data		
1	1.73105	1.48510	.00734	.08568	1	2.75589	Surge Impedance (Ω) = 300		
2	3.89487	3.34148	.03716	.19278	2	6.20076	Mutual Inductance (mH) = .10		
3	7.03240	6.03324	.12114	.34805	3	11.19581	Parallel Capacitance (μF) = .04		
4	11.92803	10.23329	.34859	.59042	4	18.98982	Inductance (mH) = 1.		
5	19.80568	16.99167	.96102	.98032	5	31.53128	Series Capacitance (μF) = .16		

جدول (۶): اثر افزایش تعداد تکرارهای از ۲۰۰ (جدول سمت چپ) به ۱۰۰۰

Maximum Voltage Statistical Data at Bach Node					Maximum Voltage				
Nodg No.	Umax	Uav	Var(U)	σ	Node No.	Umax	Uav	Var(U)	σ
1	.13935	.10953	.00006	.00748	1	13.03180	.11052	.00006	.00787
2	.83608	.65717	.00201	0.4487	2	.86234	.66312	.00223	.04725
3	4.87714	3.83349	.06853	.26177	3	5.03030	3.86822	.07597	.27563
4	28.42676	22.34377	2.32729	1.52555	4	29.31946	22.54622	2.58090	1.60652
5	165.68340	130.22920	79.05635	8.89136	5	170.88650	131.40910	87.67552	9.36352

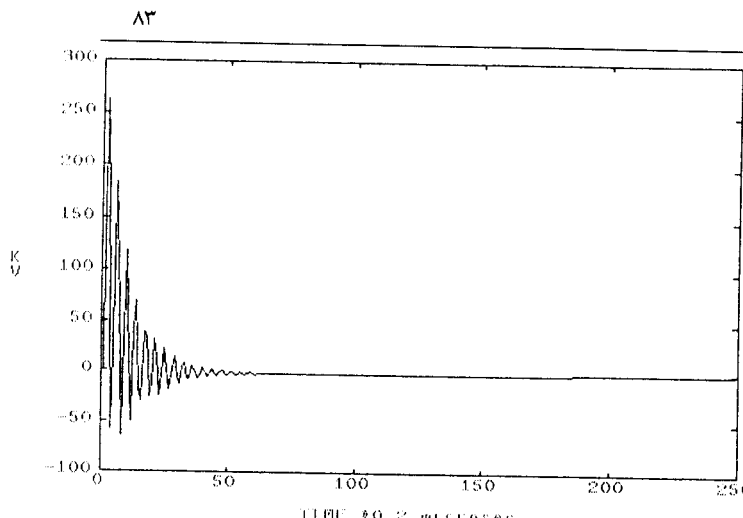
۲-۴-تابع چگالی حداکثر ولتاژ در هر گره

با توجه به آزمونهای انجام شده به این نتیجه رسیده ایم که حدود نو درصد حداکثرهای ولتاژ هادر هر گره ای، در فاصله $\sigma - \mu$ قرار دارند. بنابراین با توجه به فاصله اطمینان مورد نظر، می توان طراحی عایق بندی را با توجه به نتایج به دست آمده انجام داد.

۳-۴- تأثیر مقدار L ، M بر دامنه اضافه ولتاژها

قبل از ارائه نتایج اشاره ای به رابطه (۲۴) می کنیم. این

برنامه نوشته شده این قابلیت را دارد که تابع چگالی حداکثرهای ولتاژ را برای تمام گره ها مشخص نماید. با توجه به آزمونهای انجام شده برای مبدله ای با مقادیر K ، C ، M ، L ، σ به آن گونه که در شکل (۶) نشان داده شده است، که تمامی گره های مبدل دارای یک تابع چگالی خاص برای حداکثرهای ولتاژ هستند. شکل این تابع چگالی، در شکل (۶) برای یک نمونه خاص داده شده است.



شکل (۷): نمونه‌ای از پاسخ زمانی ولتاژ

همان‌گونه که دیده می‌شود حداکثر ولتاژ در لحظات اولیه پیش آمده است و ولتاژ دارای تغییرات نوسانی و میرا شونده، برای مدت زمانی حدود ۱۲ میکروثانیه است. دلیل نوسان به وجود آمده را می‌توان در رابطه (۲۰) جستجو کرد. با توجه به این رابطه ویژه مقادیر این سیستم را می‌توان با فرض $G = 0$ از رابطه زیر به دست آورد.

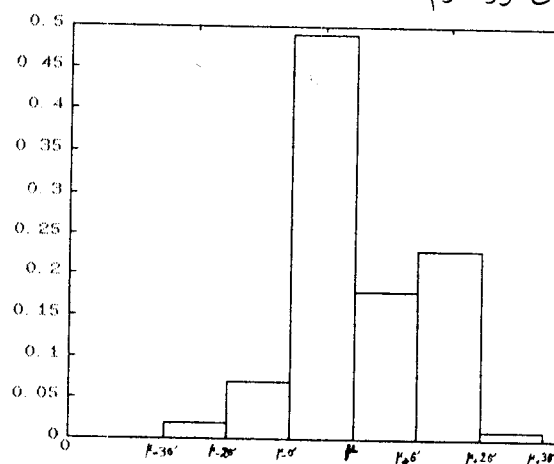
$$\Lambda^2 = -C^{-1} \cdot H \quad (35)$$

همان‌گونه که مشخص است در سیستم، نوسانی خواهیم داشت که به علت وجود Z_0 میرا می‌شود. طبیعی است که در صورت در نظر گرفتن G میرائی شدیدتر خواهد شد. بنابراین در هنگام طراحی ترانس باید این مسئله را نیز مدنظر داشت تا مسئله تشدید پیش نیاید.

۴-۴ تأثیر مقادیر K و C بر دامنه اضافه ولتاژها

همان‌گونه که گفته شد ظرفیت‌های خازنی بیشترین تأثیر را بر دامنه اضافه ولتاژهای به وجود آمده دارند. در جدولهای (۳)، (۴) و (۵) مقدار $C = 0.04 \mu F$ و $M = 0.1 mH$ ، $L = 1 mH$ ثابت در نظر گرفته شده است. ولی برای K به ترتیب مقادیر

رابطه با توجه به شرایط اولیه مسئله، در گام اول به رابطه (۲۸) تبدیل می‌شود. با توجه به این رابطه مشخص است که در لحظات اولیه این خازنها هستند که توزیع ولتاژ را در هر گره مشخص می‌سازند. (به این واقعیت از راههای دیگر نیز می‌توان رسید [۷]) از طرفی نیز با توجه به کوتاهی زمان پیشانی موج، مشخص است که اضافه ولتاژهای به وجود آمده در لحظات اولیه بعد از رسیدن موج صاعقه به مبدل به وجود می‌آیند. بنابراین این خازنها هستند که بر دامنه اضافه ولتاژهای به وجود آمده اثر خواهند داشت و نه سلفها. جهت بررسی صحت این موضوع، ابتدا مقدار K را به ترتیب در مقدار 0.01% و 0.025% میکروفاراد ثابت نگهداشت و سپس مورد $M = 0.1 mH$ ، $L = 1 mH$ را با مورد $M = 1 mH$ ، $L = 10 mH$ (یعنی حداکثر رنج تغییرات L) مقایسه می‌کنیم. نتایج آماری این دو مورد عیناً مشابه است و تغییرات بسیار کمی در میانگین حداکثر ولتاژها و بیشترین ولتاژها در هر گره دیده می‌شود. شکل (۷) نمونه‌ای از پاسخ زمانی برای مورد دوم است.



شکل (۶): نتایج چگالی حداکثر ولتاژ در هر گره

جدول (۸): تأثیر افزایش C ($C = 0.0025$)

Maximum Voltage: Statistical Data at Each Node

Nodg No.	Umax	Uav	Var(U)	σ
1	27.69684	23.73811	1.80877	1.34490
2	62.31791	53.41075	9.15642	3.02596
3	112.51840	96.43607	29.84939	5.46346
4	190.84860	163.57040	85.88789	9.26757
5	316.89080	271.59720	236.81020	15.38864

با توجه به مطالب فوق می‌توان نتیجه‌گیری کرد که با افزایش K می‌توان با اضافه و لتاژهای به وجود آمده مقابله نمود. از لحاظ ثوری نیز با توجه به رابطه (۲۸) مشخص شده است که بزرگ شدن K و C باعث کوچک شدن عناصر ماتریس C^{-1} می‌گردد و در نتیجه و لتاژگرهای دار لحظات اولیه، که همان لحظات وقوع حداکثرهای و لتاژ است، کوچکتر می‌شوند. بزرگ کردن مقدار K و C باعث می‌شود که دامنه اضافه و لتاژهای به وجود آمده کاهش یابند. ولی در عوض برای فاصله تغییرات L و M که در حد میلی‌هانری است، میراثی نیز کاهش می‌یابد. یعنی نوسانات و لتاژ در طول مدت زمان طولانی‌تری میرا می‌شوند. بنابراین مقدار K را باید به گونه‌ای طراحی کرد که نوسانات طولانی مدت توسط مبدل در سیستم قدرت تولید نشود. برای مثال در همان موردی که در شکل (۷) ارائه شد، مقدار ظرفیتهای خازنی را ده برابر می‌کنیم. شکل (۸) تغییرات زمانی و لتاژ را برای این حالت نشان می‌دهد.

۰/۰۱۶، ۰/۰۱۶ میکروفاراد در نظر گرفته شده است.

همانگونه که دیده می‌شود بازای یک C ثابت و با افزایش K میانگین حداکثر اضافه و لتاژ به وجود آمده کاهش می‌یابد. مشابه همین تست در جدولهای (۳)، (۷) و (۸) انجام شده است. در اینجا مقدار L و M تغییر داده نشده است. مقدار K نیز ۰/۰۱۶ میکروفاراد ثابت فرض شده است ولی مقدار C را به ترتیب ۰/۰۱۱، ۰/۰۲۵ و ۰/۰۰۲۵ میکروفاراد انتخاب کرده‌ایم. با مقایسه این جدولها به این نتیجه می‌رسیم که به ازای یک K ثابت و با افزایش C میانگین حداکثر و لتاژ به وجود آمده در تمام گره‌ها کاهش می‌یابد. ولی تأثیر افزایش K خیلی بیشتر از تأثیر افزایش C است. (جدولهای (۷) و (۸) را با جدولهای (۳) و (۴) مقایسه کنید در مورد اول C و در مورد دوم K چهار برابر شده است).

جدول (۷): تأثیر افزایش C ($C = 0.01$)

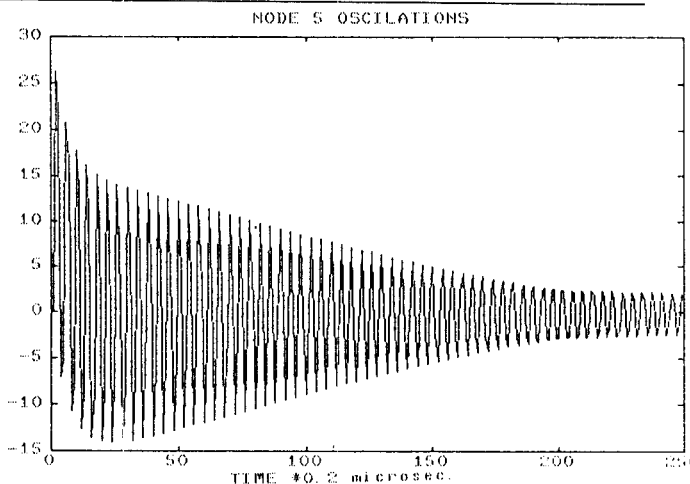
Maximum Voltage: Statistical Data at Each Node

Nodg No.	Umax	Uav	Var(U)	σ
1	3.70712	3.177261	.03241	.18002
2	11.12138	9.53179	.29159	.53999
3	29.65700	25.41809	2.07406	1.44016
4	77.84962	66.72247	14.29189	3.78046
5	203.89180	174.74930	98.03999	9.90151

قبلی است.

نتیجه گیری

با توجه به مدلسازی انجام شده برای مبدل مشخص گردید که با توجه به سطح اطمینان مورد نظر می‌توان به کمک شبیه‌سازی مونت‌کارلو به معیارهای اقتصادی‌تری جهت طراحی عایق‌بندی رسید. همچنین مشخص شد که با افزایش K می‌توان دامنه اضافه ولتاژهای به وجود آمده، ناشی از انفوذ موج صاعقه به مبدل را کاست. ولی این افزایش باید در حدی باشد که نوسانات طولانی مدت در سیستم به وجود نیاید.



شکل (۸): تأثیر خازنها بر نوسانات ولتاژ

با توجه به شکل، دامنه ولتاژ به شدت کاهش یافته ولی همان گونه که مشخص است، بعد از گذشت پنجاه میکروثانیه هنوز نوسانات، میرا نشده‌اند. این زمان پنج برابر زمان مورد

فهرست منابع

- 1-H.Baatz. "Mechanismus des Gewitters and Blitzes", Book, Verlag Gmbh, Berlin 1978.
- 2-J.Anderson , A.Erikson, "Lightning Parameters for Engineering Applicatons", 1980, Electra 69, 65 - 102.
- 3-Nagai , Y., T.Miyazaki & et-al, "Amplitude Distribution of the Electric field Emitted from Lightning Dischrges" Proceeding of IEEE, EMC - 84, 1984, TOKYO.
- 4-IEEE Working Group on Estimating Transmission Lightning Outage Rates, "A Simplified Method for Estimating Lightning Performance of Transmission Lines, IEEE trans. Of Power Syst., PAS-104, No.4, 1985, PP. 919-932.
- 5-B.Gottfried, "Elements of Stochastic Process Simulation", book, Englewood Cliffs, Prentice Hall 1984.
- 6-J.P.Bickford , N.Mullineux, J.R.Reed, "Computation of Power System Transients",Book, IEE monograph series 18, 1980.
- 7-A.Greenwood, "Electrical Transients in Power Systems", Book, 2ed Ed. , John Wiley & Sons, 1991.
- 8-H.Mohseni, "Berechung der Elektrischen Beanspruchungen bei Stoßspannung and Schaltüberspannung", ELIN zeitschrift, 1976, 2 .
- 9-Bratly, Fox & Schrage, "A Guide to Simulation", Book , Prentice Hall 1980.